

การจัดการการใช้พื้นที่ภายในอาคารเพื่อถดถอดภาระการทำงานที่ความเสี่ยง
: กรณีศึกษาอาคารของมหาวิทยาลัย

นายกรุง กุลชาติ



วิทยานิพนธ์นี้เป็นส่วนหนึ่งของการศึกษาตามหลักสูตรปริญญาโทปัจจุบันตามมาตรฐานบัณฑิตวิทยาลัย
ภาควิชาสถาปัตยกรรมศาสตร์
บัณฑิตวิทยาลัย มหาวิทยาลัย
ปีการศึกษา 2539
ISBN 974-636-752-8
ลิขสิทธิ์ของบัณฑิตวิทยาลัย มหาวิทยาลัย

**SPACE UTILIZATION MANAGEMENT FOR COOLING LOAD SHARING
: A CASE STUDY OF CHULALONGKORN UNIVERSITY BUILDINGS**

Mr.Krung Kullachart

A Thesis Submitted in Partial Fulfillment of the Requirements

for the Degree of Master of Architecture

Department of Architecture

Graduate School

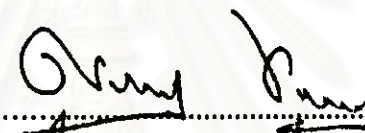
Chulalongkorn University

Academic Year 1996

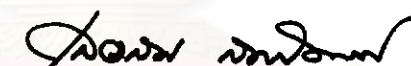
ISBN 974-636-752-8

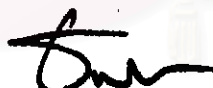
หัวขอวิทยานิพนธ์	การจัดการการใช้พื้นที่ภายในอาคารเพื่อลดภาระการทำความเย็น : กรณีศึกษาอาคารของฯพ.สส.กรรณมหาวิทยาลัย
โดย	นายกฤษ ฤทธาติ
ภาควิชา	สถาปัตยกรรมศาสตร์
อาจารย์ที่ปรึกษา	ผู้ช่วยศาสตราจารย์ ชนิต จินดาวนิค
อาจารย์ที่ปรึกษาอีกคน	รองศาสตราจารย์ ดร. สุนทร บุญญาอิการ

.....
 บันทึกวิทยาลัย ฯพ.สส.กรรณมหาวิทยาลัย อนุมัติให้นักวิทยานิพนธ์ฉบับนี้เป็นส่วนหนึ่งของ
 การศึกษาตามหลักสูตรปฏิบัติภาระนักศึกษา

 คณบดีบันทึกวิทยาลัย
 (ศาสตราจารย์ นายแพทย์ศรุตวัฒน์ จิตวงศ์)

คณะกรรมการสอนวิทยานิพนธ์

 ประธานกรรมการ
 (รองศาสตราจารย์ ดร. เดอสม์ สถาปิตานนท์)

 อาจารย์ที่ปรึกษา
 (ผู้ช่วยศาสตราจารย์ ชนิต จินดาวนิค)

 อาจารย์ที่ปรึกษาอีกคน
 (รองศาสตราจารย์ ดร. สุนทร บุญญาอิการ)

 กรรมการ
 (อาจารย์พิเชฐ เนตรไพบูลย์)

พิมพ์ดันฉบับทัศนศึกษาวิทยานิพนธ์การใช้พื้นที่ภายในห้องต่างๆในอาคาร เพื่อ减低ความร้อนในอากาศ

กรุณ ถูกต้อง : การจัดการการใช้พื้นที่ภายในอาคารเพื่อลดภาระการทำความเย็น : การศึกษาอาคารของจุฬาลงกรณ์มหาวิทยาลัย (SPACE UTILIZATION MANAGEMENT FOR COOLING LOAD SHARING : A CASE STUDY OF CHULALONGKORN UNIVERSITY BUILDINGS) อ.ที่ปรึกษา : ผศ.ดร.นิติ จินดาภรณ์, วศ. ดร.สุนทร บุญญาธิกุล, 173 หน้า, ISBN 974-636-752-8

การวิจัยนี้มีจุดมุ่งหมายที่จะศึกษาภาระการทำความเย็นของห้องต่างๆในอาคาร เพื่อนำแนวทางในการจัดการการใช้พื้นที่ภายในอาคาร ให้สามารถลดภาระของเครื่องปรับอากาศ และลดภาระการทำความเย็น โดยศึกษาจากพื้นที่บางส่วนของอาคารครุศาสตร์ และอาคารการศึกษานานาชาติของจุฬาลงกรณ์มหาวิทยาลัยเป็นกรณีศึกษา

จะเป็นวิธีวิจัย ใช้วิธีการตรวจสอบอาคารที่ศึกษา โดยการวัดค่าอุณหภูมิจากแหล่งความร้อนในตำแหน่งต่างๆของตัวอย่างห้อง แล้วนำไปคำนวณหาค่าภาระการทำความเย็นของแต่ละห้อง และภาระการทำความเย็นโดยรวม โดยวิเคราะห์ผลเปรียบเทียบกรณีของห้องต่างๆของอาคาร สำหรับความเหมาะสมสมในการลดภาระของเครื่องปรับอากาศ เมื่อมีการใช้ระบบร่วมกัน พนักงานของอาคารการศึกษานานาชาติ สามารถที่จะลดขนาดของระบบปรับอากาศโดยรวมลงได้มากกว่า เมื่อจากการใช้งานพื้นที่อาคารที่แตกต่างกัน และภาระการทำความเย็นสูงสุดของแต่ละห้องที่เกิดขึ้นในเวลาไม่ตรงกัน จึงได้เลือกศึกษาห้องของอาคารการศึกษานานาชาติ ในภาควิเคราะห์ค่าภาระการทำความเย็นสูงสุดของแต่ละห้อง และในกรณีที่ใช้ระบบปรับอากาศแบบส่วนกลางร่วมกัน

ผลของการวิจัยพบว่าในการใช้งานจริง ค่าภาระการทำความเย็นโดยรวมของอาคารการศึกษานานาชาติ ที่เกิดขึ้นจะมีค่าต่ำกว่าค่าที่ได้ออกแบบไว้(ในแต่ละห้องจะติดตั้งเครื่องปรับอากาศที่มีขนาดสูงกว่าการใช้งานจริงโดยทั่วไป) ดังนั้นหากมีการเปลี่ยนแปลงระบบให้สามารถใช้ร่วมกัน จะทำให้ลดขนาดระบบปรับอากาศโดยรวมลงได้ประมาณ 40 เปอร์เซ็นต์ และลดภาระไฟฟังงานลงประมาณ 45 เปอร์เซ็นต์ เมื่อจากค่าสมมติประสมร้อนระดับของระบบปรับอากาศแบบส่วนกลางจะมีค่าที่สูงขึ้น รวมทั้งการจัดการการใช้พื้นที่ภายในอาคารให้มีความสอดคล้องกับการเกิดภาระการทำความเย็นในแต่ละช่วงเวลา โดยการล็อกเสียที่จะใช้งานในเวลาที่เกิดภาระการทำความเย็นที่สูง เช่นช่วงฤดูหนาว และลดค่าภาระการทำความเย็นสูงสุดของระบบปรับอากาศรวมได้อีกส่วนหนึ่ง จากผลของการวิจัยนี้ จะเป็นประโยชน์ในการกำหนดแนวทางการปรับปรุงอาคาร ให้สามารถลดภาระของระบบปรับอากาศโดยรวม และลดภาระไฟฟังงานของอาคารลงได้

สถาบันวิทยบริการ
จุฬาลงกรณ์มหาวิทยาลัย

ภาควิชา สถาปัตยกรรมศาสตร์
สาขาวิชา เทคนิคโยธาศาสตร์
ปีการศึกษา 2539

ลายมือชื่อนักศึกษา
ลายมือชื่ออาจารย์ที่ปรึกษา
ลายมือชื่ออาจารย์ที่ปรึกษาawan

พิมพ์ด้นฉบับที่ด้วยวิทยานิพนธ์ภายในกรอบสีเขียวเพียงแผ่นเดียว

##C835121 : MAJOR ARCHITECTURE

KEY WORD: : COOLING LOAD SHARING/SHARE LOAD

KRUNG KULLACHART : SPACE UTILIZATION MANAGEMENT FOR COOLING

LOAD SHARING : A CASE STUDY OF CHULALONGKORN UNIVERSITY

BUILDINGS. THESIS ADVISOR : ASSIST. PROF. THANIT CHINDAVANIG,

ASSO. PROF. SOONTORN BOONYATIKARN, Ph.D. 173 pp.

ISBN 974-636-752-8

The objective of this research was to study cooling load in different rooms of buildings. It was expected that the information obtained could be utilized in space utilization management in order to reduce a total size and cooling load of air conditioner. The case study for this research was part of the buildings of Chulalongkorn University, the Faculty of Education Building and Chulalongkorn University Education Center Building.

The methodology of the research was conducted by investigating sample rooms in those buildings. The actual temperature from heat sources in the rooms of those buildings was measured and recorded for cooling load calculation of each room and for total cooling load calculation. The results analysed the comparative effect of the buildings in order to reduce the size of air conditioning system by using a central air conditioning system. The result showed that in the case of Chulalongkorn University Education Center Building the total size of the air conditioning system could be reduced more than the other one due to different space utilization and different periods when peak load occurs in each room. Through this process, a part of Chulalongkorn University Education Center Building was selected as a case study for the analysis of peak load in each room, including those using sharing cooling load by a central air conditioning system.

The research reveals that the actual total cooling load of the Chulalongkorn University Education Center Building studied is lower than the cooling load designed.(air conditioners are oversized in the rooms). From the study, sharing cooling load by a central air conditioning system can reduce the total size of the split type air conditioners by approximately 40% and since the coefficient of performance of a central air conditioning system is better than that of the split type system, the total energy consumption for the system can be reduced approximately 45%. Furthermore, correct space utilization management which avoids operating the system during peak load times, can also reduce energy consumption and peak load of the central system. The result of this research will be a guide line to retrofit a building with an appropriate cooling load sharing, which will reduce the total size of the air conditioning system and energy consumption.

ภาควิชา สถาปัตยกรรมศาสตร์

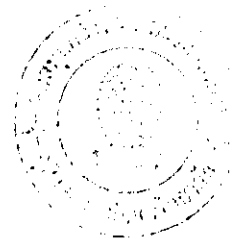
สาขาวิชา เทคโนโลยีอาคาร

ปีการศึกษา 2539

ลายมือชื่อนักวิจัย

ลายมือชื่ออาจารย์ที่ปรึกษา

ลายมือชื่ออาจารย์ที่ปรึกษาร่วม



กิตติกรรมประกาศ

วิทยานิพนธ์ฉบับนี้สามารถสำเร็จลุล่วงไปได้ด้วยดี จากความกรุณาของผู้ช่วยศาสตราจารย์ ชนิต จินดาวัณิค และรองศาสตราจารย์ ดร.สุนทร บุญญาธิกิริ อาจารย์ที่ปรึกษาวิทยานิพนธ์ ซึ่งได้ให้คำปรึกษา ตลอดจนข้อเสนอแนะต่างๆ ขันเป็นประโยชน์อย่างยิ่งในการวิจัย นอกจากนี้ยังได้รับความกรุณาเป็นอย่างยิ่งจาก รองศาสตราจารย์ ดร.ເຄມສນ ສັກປີຕານທິ ແລະ อาจารย์ພິරັສ ເນລ່າໄພສາລະກົດ ซึ่งเป็นคณะกรรมการสอบวิทยานิพนธ์ ทั้งนี้ความถึงพี่ๆร่วมรุ่นทุกคนที่ให้ความช่วยเหลือ เป็นกำลังใจกันมาตลอด และเงินทุนวิจัยบางส่วนจากบ้านพิพิธวิทยาลัย

จึงขอขอบพระคุณท่านที่เกี่ยวข้อง มา ณ.โอกาสนี้ด้วย

สถาบันวิทยบริการ

จุฬาลงกรณ์มหาวิทยาลัย

สารบัญ

	หน้า
บทคัดย่อภาษาไทย	๕
บทคัดย่อภาษาอังกฤษ	๖
กิตติกรรมประกาศ	๗
สารบัญ	๘
สารบัญตาราง	๙
สารบัญภาพประกอบ	๑๐
บทที่ ๑ บทนำ	๑
1.1 ความเป็นมาของปัจจุบัน	๑
1.2 วัตถุประสงค์ของการวิจัย	๓
1.3 สมมติฐานการวิจัย	๓
1.4 ขอบเขตของการวิจัย	๔
1.5 ระเบียบวิธีวิจัย	๕
1.6 ประโยชน์ที่จะได้รับ	๗
บทที่ ๒ ทฤษฎีและแนวความคิดที่เกี่ยวข้อง	๙
2.1 ทฤษฎีเกี่ยวกับความร้อนอันเนื่องจากรังสีดวงอาทิตย์	๙
2.2 ทฤษฎีการถ่ายเทความร้อน	๑๓
2.3 อิทธิพลที่มีผลต่อการถ่ายเทความร้อนของผนังอาคาร	๒๑
2.4 การคำนวณปริมาณความร้อนที่ผ่านเข้าออกอาคาร	๒๔
2.5 อิทธิพลของความร้อนที่เกิดจากแสงแดด	๒๕
2.6 ตำแหน่งและทิศทางของดวงอาทิตย์ที่มีอิทธิพลต่อความร้อนของอาคาร	๒๖
2.7 ทฤษฎีเกี่ยวกับการปรับอากาศ	๓๕
2.8 การคำนวณภาระการทำความเย็น	๔๐
2.9 การวัดค่าการใช้พลังงานของเครื่องปรับอากาศ	๕๒
บทที่ ๓ ลักษณะภาษาพ้องนิยมที่ใช้ในการวิจัย	๕๕
3.1 อาคารคุณภาพดีแบบ ๓	๕๕
3.2 อาคารการศึกษานานาชาติ	๕๖
3.3 อุปกรณ์และเครื่องมือที่ใช้ในการวิจัย	๗๕

สารบัญ (ต่อ)

	หน้า
บทที่ 4 การวิเคราะห์ข้อมูลและพิจารณาสมมุติฐาน	78
4.1 ภาระการทำความเย็นของอาคารคุณภาพดีแทน 3	78
4.1.1 ภาระการทำความเย็นของห้องกรณีศึกษา.....	78
ห้องด้านตะวันออก(ห้อง 802).....	86
ห้องด้านตะวันตก(ห้อง 807).....	91
4.1.2 Cooling load sharing ของห้อง 802 และห้อง 807.....	97
4.2 ภาระการทำความเย็นของอาคารการศึกษานานาชาติ.....	103
4.2.1 ภาระการทำความเย็นของห้องกรณีศึกษา.....	103
ห้องด้านตะวันออก(ห้อง 1245).....	104
ห้องด้านตะวันตก(ห้อง 1209).....	116
4.2.2 Cooling load sharing ของห้อง 1245 และห้อง 1209.....	123
4.3 การจัดการการใช้พื้นที่ด้วยวิธี Cooling load sharing และ Occupancy Schedule..	128
4.5.1 กรณีที่แยกระบบปรับอากาศของแต่ละห้อง.....	128
4.5.2 กรณีการจัดการการใช้พื้นที่	132
บทที่ 5 บทสรุปและข้อเสนอแนะ	153
5.1 บทสรุป	153
5.2 ข้อเสนอแนะ	163
รายการอ้างอิง	172
ภาคผนวก ก. ตารางแสดงค่าที่ใช้ในการคำนวณ	174
ภาคผนวก ข. ตัวอย่างแบบสูบຄามการใช้อาคาร	195
ภาคผนวก ค. ตารางการบันทึกข้อมูล	198
ภาคผนวก ง. ตัวอย่างตารางการคำนวณภาระการทำความเย็น	203
ภาคผนวก จ. ฉลุยหมุนօากาศของกรุงเทพฯ ปี 2538 ที่ใช้ในการคำนวณแต่ละเดือน	258
ประวัติผู้เขียน	261

สารบัญตาราง

หน้า

ตารางที่ 2.1 แสดงค่า CLTD สำหรับคำนวณ Cooling load ของหลังคาแบบราบ ที่ถูกแสงแดด	175
ตารางที่ 2.2 แสดงค่า CLTD สำหรับคำนวณ Cooling load ของผนังที่ถูกแสงแดด.....	176
ตารางที่ 2.3 แสดงรายละเอียดของประเททผนังกั่นทั่งๆ	177
ตารางที่ 2.4 แสดงค่า LM สำหรับเดือน และ Latitude (LM)	178
ตารางที่ 2.5 แสดงค่า CLTD สำหรับคำนวณ Cooling load ของกระจกที่ถูกแสงแดด.....	178
ตารางที่ 2.6 แสดงค่า Maximum Solar Heat Gain Factor ของกระจกที่ถูกแสงแดด	180
ตารางที่ 2.7 แสดงค่า CLF สำหรับกระจกที่ไม่มีอุปกรณ์บังแดดด้านใน	181
ตารางที่ 2.8 แสดงค่า CLF สำหรับกระจกที่มีอุปกรณ์บังแดดด้านใน	183
ตารางที่ 2.9 แสดงค่า α และ β สำหรับ Cooling Load Factor for Lighting	184
ตารางที่ 2.10 แสดงค่า Cooling Load Factor for Lighting	185
ตารางที่ 2.11 แสดงค่า Heat Gain from Occupants of Conditions Space.....	187
ตารางที่ 2.12 แสดงค่า Sensible Heat Cooling Load Factor for People.....	188
ตารางที่ 2.13 แสดงค่า Heat Gain from Appliances	189
ตารางที่ 2.14 แสดงค่า Sensible Heat Cooling Load Factor for Appliances	191
ตารางที่ 2.15 แสดงค่าความร้อนที่เกิดจากอุปกรณ์ที่มอเตอร์ขับเคลื่อน (BTU.HR)	192
ตารางที่ 2.16 แสดงค่า Infiltration Through Windows	193
ตารางที่ 2.17 แสดงค่า Outdoor Air Requirements	194
ตารางที่ 2.18 แสดงค่า Over-all Heat Transfer Coefficient (U) for Ductwork	195

จุฬาลงกรณ์มหาวิทยาลัย

สารบัญตาราง (ต่อ)

หน้า

ตารางที่ 2.19	แสดงค่าความต้องการกำลังไฟฟ้าโดยเฉลี่ยของระบบปรับอากาศ	53
ตารางที่ 4.1	แสดงการเปรียบเทียบขนาดของเครื่องปรับอากาศ (ห้อง 802 และ 807).....	101
ตารางที่ 4.2	แสดงการเปรียบเทียบขนาดของเครื่องปรับอากาศ (ห้อง 1245 และ 1209).....	126
ตารางที่ 4.3	แสดงการสรุปค่าต่าง ๆ ของแต่ละห้อง (กรณีที่แยกระบบปรับอากาศ).....	129
ตารางที่ 4.4	แสดง Cooling load ของแต่ละห้อง และกรณีการ Share load.....	136
ตารางที่ 4.5	แสดง Cooling load ของแต่ละห้อง และกรณีการ Share load.....	139
ตารางที่ 4.6	แสดง Cooling load ของแต่ละห้อง และกรณีการ Share load.....	142
ตารางที่ 4.7	แสดงการสรุปค่าต่าง ๆ ของแต่ละห้อง (กรณีที่แยกระบบปรับอากาศ).....	143
ตารางที่ 4.8	แสดงการสรุปขนาดเครื่องปรับอากาศของแต่ละห้อง.....	144
ตารางที่ 5.1	การเปรียบเทียบขนาดเครื่องปรับอากาศ กรณีอาคารครุศาสตร์.....	160
ตารางที่ 5.2	การเปรียบเทียบขนาดเครื่องปรับอากาศ กรณีอาคารการศึกษานานาชาติ.....	160
ตารางที่ 5.3	การสรุปค่าต่างๆ ของแต่ละห้อง และกรณีการ Share load.....	162
ตารางที่ 5.4	แสดงแสดง Cooling load ของแต่ละห้อง และกรณีการ Share load	164
ตารางที่ 5.5	แสดง Cooling load ของแต่ละห้อง และกรณีการ Share load.....	166

**สถาบันวิทยบริการ
จุฬาลงกรณ์มหาวิทยาลัย**

สารบัญภาพประกอบ

หน้า

Ruiz 2.1 แสดงการนำความร้อน (Thermal Conduction) ผ่านแผ่นร้าบ	15
Ruiz 2.2 แสดงการเกิด Thermal Gradient ผ่านผนังร้าบขั้นเดียว	15
Ruiz 2.3 แสดงการเกิด Thermal Gradient ผ่านผนังร้าบสามชั้น	15
Ruiz 2.4 แสดงการสะท้อน การดูดกลืน และการสะท้อนของรังสีที่ตกกระทบวัตถุ	18
Ruiz 2.5 แสดงการกระจายสเปกตรัมของกำลังการแผ่รังสีของวัตถุดำ, วัตถุเทา และที่ไม่ใช่วัตถุเทา	18
Ruiz 2.6 แสดงสภาพการแผ่รังสีของวัตถุ (ค่า E แบบอุณหภูมิ)	20
Ruiz 2.7 แสดงการถ่ายเทความร้อนแบบผสมของแผ่นร้าบ	22
Ruiz 2.8 แสดงการเปรียบเทียบค่า Heat gain ของผนังอิฐในทิศต่าง ๆ	27
Ruiz 2.9 แสดงการเปรียบเทียบค่า Heat gain ของผนัง Light weight (EIFS) ในทิศต่าง ๆ	27
Ruiz 2.10 แสดงการเปรียบเทียบค่าอุณหภูมิผิวของผนังภายใน ในทิศต่าง ๆ	29
Ruiz 2.11 แสดงปริมาณ Cooling load ภายในอาคารที่ผ่านกระจก ด้านทิศตะวันออกเฉียงใต้	30
Ruiz 2.12 แสดงปริมาณ Cooling load ภายในอาคารที่ผ่านกระจก ด้านทิศตะวันตกเฉียงใต้	30
Ruiz 2.13 แสดงปริมาณ Cooling load ภายในอาคารที่ผ่านผนังกระจกห้องด้าน	32
Ruiz 2.14 แสดงค่าอุณหภูมิกายในห้องทดลองที่มีหน้าต่างในแต่ละทิศ (ไม่มีการระบายอากาศและมีอุปกรณ์มั่งแต่ภายใน)	33
Ruiz 2.15 แสดงค่าอุณหภูมิกายในห้องทดลองที่มีหน้าต่างในแต่ละทิศ (ไม่มีการระบายอากาศและมีอุปกรณ์มั่งแต่ภายใน)	33
Ruiz 2.16 แสดงค่าอุณหภูมิกายในห้องทดลองที่มีหน้าต่างในแต่ละทิศ (มีการระบายอากาศและมีอุปกรณ์มั่งแต่ภายในอ ก)	34
Ruiz 2.17 แสดงค่าอุณหภูมิสมประสิทธิ์ (Effective Temperature)	36
Ruiz 2.18 แสดงค่าอุณหภูมิสมประสิทธิ์สำหรับอากาศนิ่ง	36
Ruiz 2.19 แสดงกระบวนการกากปั๊บอากาศเบื้องต้น	38

สารบัญภาพประกอบ (ต่อ)

หน้า

รูปที่ 2.20	แสดงผลของ Thermal Storage ในการเกิด Cooling load ของอุปกรณ์ไฟฟ้า.....	48
รูปที่ 3.1	แผนที่สังเขปวิวัฒนาการคุณภาพทั้งหมด 3	57
รูปที่ 3.2	ผังบริเวณอาคารคุณภาพทั้งหมด 3	58
รูปที่ 3.3	รูปด้านทิศเหนือของอาคารคุณภาพทั้งหมด 3	59
รูปที่ 3.4	รูปด้านทิศใต้ของอาคารคุณภาพทั้งหมด 3	60
รูปที่ 3.5	รูปด้านทิศตะวันออกของอาคารคุณภาพทั้งหมด 3	61
รูปที่ 3.6	รูปด้านทิศตะวันตกของอาคารคุณภาพทั้งหมด 3	62
รูปที่ 3.7	รูปตัดตามช่วงของอาคารคุณภาพทั้งหมด 3	63
รูปที่ 3.8	รูปตัดตามยาวของอาคารคุณภาพทั้งหมด 3	64
รูปที่ 3.9	ผังพื้นที่ 8 ของอาคารคุณภาพทั้งหมด 3	65
รูปที่ 3.10	ผังบริเวณอาคารการศึกษานานาชาติ	66
รูปที่ 3.11	รูปด้านทิศเหนือของอาคารการศึกษานานาชาติ	67
รูปที่ 3.12	รูปด้านทิศใต้ของอาคารการศึกษานานาชาติ	68
รูปที่ 3.13	รูปด้านทิศตะวันออกของอาคารการศึกษานานาชาติ	69
รูปที่ 3.14	รูปด้านทิศตะวันตกของอาคารการศึกษานานาชาติ	70
รูปที่ 3.15	รูปตัดตามยาวของอาคารการศึกษานานาชาติ	71
รูปที่ 3.16	รูปตัดตามช่วงของอาคารการศึกษานานาชาติ	72
รูปที่ 3.17	ผังพื้นแสดงการใช้พื้นที่ของคณะพยาบาลศาสตร์	73
รูปที่ 3.18	ผังพื้นที่ 12 ของอาคารการศึกษานานาชาติ (คณะพยาบาลศาสตร์).....	74
รูปที่ 3.19	เครื่องมือวัดอุณหภูมิ Microprocessor Thermometer	76
รูปที่ 3.20	สายวัดอุณหภูมิ Thermo Couple Type "J"	76
รูปที่ 3.21	เครื่องมือวัดรังสีดวงอาทิตย์ Incident Solar Energy	77
รูปที่ 3.22	เครื่องมือวัดความชื้น Hygro-Thermometer	77
รูปที่ 4.1	แสดงการเบริ่งเทียบอุณหภูมิผิวภายในของผนัง และกระจากห้อง 802.....	80
รูปที่ 4.2	แสดงการเบริ่งเทียบอุณหภูมิผิวภายในของผนัง 802.....	81
รูปที่ 4.3	แสดงการเบริ่งเทียบอุณหภูมิผิวภายในของผนัง และกระจากห้อง 807.....	82
รูปที่ 4.4	แสดงค่าอุณหภูมิในตำแหน่งท่าง ๆ ของห้อง 807.....	83

สารบัญภาพประกอบ (ต่อ)

หน้า

รูปที่ 4.5 แสดงค่าความชื้นสัมพัทธ์ของห้อง 802 และห้อง 807.....	84
รูปที่ 4.6 แสดงค่าอัตราส่วนความชื้นของห้อง 802 และห้อง 807.....	85
รูปที่ 4.7 ภาระการทำความเย็นจากภายนอกของห้อง 802 เดือนกุมภาพันธ์	87
รูปที่ 4.8 ภาระการทำความเย็นจากภายในของห้อง 802 เดือนกุมภาพันธ์	90
รูปที่ 4.9 ภาระการทำความเย็นของห้อง 802	92
รูปที่ 4.10 ภาระการทำความเย็นจากภายนอกของห้อง 807 เดือนกุมภาพันธ์	93
รูปที่ 4.11 ภาระการทำความเย็นจากภายในของห้อง 807 เดือนกุมภาพันธ์	96
รูปที่ 4.12 ภาระการทำความเย็นของห้อง 807	98
รูปที่ 4.13 แสดงภาพเปรียบเทียบภาระการทำความเย็นของห้อง 802 และห้อง 807.....	99
รูปที่ 4.14 แสดงการรวมภาระการทำความเย็นของห้อง 802 และห้อง 807.....	100
รูปที่ 4.15 แสดงการเปรียบเทียบขนาดของเครื่องปรับอากาศ.....	102
รูปที่ 4.16 แสดงการเปรียบเทียบอุณหภูมิผิวภายในของผนังกันห้อง 1245.....	105
รูปที่ 4.17 แสดงการเปรียบเทียบอุณหภูมิผิวภายในของห้อง 1245.....	106
รูปที่ 4.18 แสดงการเปรียบเทียบอุณหภูมิผิวภายในของห้อง 1209.....	107
รูปที่ 4.19 แสดงค่าอุณหภูมิผิวของผนังกันห้อง 1209.....	108
รูปที่ 4.20 แสดงค่าความชื้นสัมพัทธ์ของห้อง 1245 และห้อง 1209.....	109
รูปที่ 4.21 แสดงค่าอัตราส่วนความชื้นภายในห้อง 1245 และห้อง 1209.....	110
รูปที่ 4.22 แสดงภาระการทำความเย็นจากภายนอกของห้อง 1245.....	111
รูปที่ 4.23 แสดงภาระการทำความเย็นจากภายในของห้อง 1245.....	115
รูปที่ 4.24 แสดงภาระการทำความเย็นของห้อง 1245.....	117
รูปที่ 4.25 แสดงภาระการทำความเย็นจากภายนอกของห้อง 1209.....	118
รูปที่ 4.26 แสดงภาระการทำความเย็นจากภายในของห้อง 1209.....	121
รูปที่ 4.27 แสดงภาระการทำความเย็นของห้อง 1209.....	122
รูปที่ 4.28 แสดงการเปรียบเทียบภาระการทำความเย็นของห้อง 1245 และห้อง 1209.....	124
รูปที่ 4.29 แสดงการรวมภาระการทำความเย็นของห้อง 1245 และห้อง 1209.....	125
รูปที่ 4.30 แสดงการเปรียบเทียบขนาดของเครื่องปรับอากาศ.....	127
รูปที่ 4.31 แสดงค่าภาระการทำความเย็นจากแหล่งความร้อนภายนอกของห้อง 1248.....	130

สารบัญภาพประกอบ (ต่อ)

หน้า

รูปที่ 4.32	แสดงค่าภาระการทำความเย็นจากแหล่งความร้อนภายในของห้อง 1248.....	131
รูปที่ 4.33	แสดงการเปรียบเทียบภาระการทำความเย็นของแต่ละห้อง.....	133
รูปที่ 4.34	แสดงการเปรียบเทียบภาระการทำความเย็นของแต่ละห้อง.....	140
รูปที่ 4.35	แสดงการเปรียบเทียบภาระการทำความเย็นของแต่ละห้อง.....	145
รูปที่ 4.36	แสดงการเปรียบเทียบขนาดของเครื่องปรับอากาศ อาคารการศึกษานานาชาติ.....	148
รูปที่ 4.37	แสดงการเปรียบเทียบขนาดของเครื่องปรับอากาศ อาคารการศึกษานานาชาติ.....	150
รูปที่ 4.38	แสดงลักษณะของ Cooling load sharing อาคารการศึกษานานาชาติ	152
รูปที่ 5.1	แสดงกราฟเปรียบเทียบภาระการทำความเย็นของห้อง 802 และห้อง 807.....	154
รูปที่ 5.2	แสดงการเปรียบเทียบภาระการทำความเย็นของห้อง 1245 และห้อง 1209.....	156
รูปที่ 5.3	แสดงภาระการทำความเย็นจากภายในของห้อง 1245.....	157
รูปที่ 5.4	แสดงภาระการทำความเย็นจากภายในของห้อง 1209.....	157
รูปที่ 5.5	แสดงการเปรียบเทียบขนาดของเครื่องปรับอากาศ อาคารครุศาสตร์.....	161
รูปที่ 5.6	แสดงการเปรียบเทียบขนาดของเครื่องปรับอากาศ อาคารการศึกษานานาชาติ...	161
รูปที่ 5.7	แสดงการเปรียบเทียบ Cooling load ของแต่ละห้อง.....	165
รูปที่ 5.8	แสดงการเปรียบเทียบ Cooling load ของแต่ละห้อง.....	167

สถาบันวิทยบริการ
จุฬาลงกรณ์มหาวิทยาลัย